

BH-Ni

IX-6-2

1951

NiO·BaO, NiO·3BaO (im)

Lander J.J.

J. Amer. Chem. Soc., 1951, 73, 2450-2452

CA, 1951, 7906c

5

IX - 1040

1951

Ba<sub>3</sub>Ni<sub>3</sub>O<sub>8</sub>, Ba<sub>2</sub>Ni<sub>2</sub>O<sub>5</sub> (Tm)

Lander J.J., Wootten L.A.,

J. Amer. Chem. Soc., 1951; 73, 2459-2454

5

CA, 1951, 7906d

*10/97*  
Ni<sub>3</sub>BaF<sub>8</sub>

Ni<sub>3</sub>BaF<sub>10</sub>

NiBaF<sub>4</sub>

NiBa<sub>2</sub>F<sub>6</sub>

MnBaF<sub>4</sub>

53859x Nickel difluoride-barium difluoride and manganese difluoride-barium difluoride systems. Jean Claude Couscins and Maurice Samouel (Sorbonne, Paris). *C. R. Acad. Sci., Paris, Ser. C* 265(20), 1121-3(1967)(Fr). The phase diagram systems of  $\text{NiF}_2\text{-BaF}_2$  and  $\text{MnF}_2\text{-BaF}_2$  were examd. by D.T.A. and x-ray spectrometry.  $\text{NiF}_2$  was prep'd. by dehydration of  $\text{NiF}_2\cdot 4\text{H}_2\text{O}$  in presence of HF at  $1000^\circ$ .  $\text{MnF}_2$  was prep'd. by the thermolysis of  $\text{NH}_4\text{MnF}_3$  at  $350^\circ$  under N atm. The  $\text{NiF}_2\text{-BaF}_2$  phase diagram showed the presence of 4 compds.:  $\text{Ni}_3\text{BaF}_8$ ,  $\text{Ni}_3\text{Ba}_2\text{F}_{10}$ ,  $\text{NiBaF}_4$ , and  $\text{NiBa}_2\text{F}_6$ . The 1st 2 decomp. by peritectic reaction at  $1000^\circ$  and  $977^\circ$ , resp.  $\text{NiBaF}_4$  fuses without decomprn. at  $977^\circ$ .  $\text{NiBa}_2\text{F}_6$  m.  $890^\circ$ .  $\text{NiBa}_2\text{F}_6$  is tetragonal.  $\text{Ni}_3\text{BaF}_8$ ,  $\text{Ni}_3\text{Ba}_2\text{F}_{10}$ , and  $\text{NiBaF}_4$  are formed in the solid state by heating  $\text{NiF}_2$  and  $\text{BaF}_2$  in stoichiometric proportions for 18 hrs. at  $850^\circ$ . A single phase is shown in the  $\text{MnF}_2\text{-BaF}_2$  system,  $\text{MnBaF}_4$  obtained by heating  $\text{MnF}_2$  and  $\text{BaF}_2$  in a 1:1 ratio at  $750^\circ$ .  $\text{BaMnF}_4$  and  $\text{BaNiF}_4$  are orthorhombic and their x-ray spectra are given.

BWIE

C. A. 1968. 68. 12

+1



BaNiO<sub>2</sub> BP-3517-IX 1979

BaNiO<sub>3</sub> Kisechny et al.

(Kp. effec.) J. Solid State Chem.

1979, 3 N3 349-54

1971

Ba Ni<sub>2</sub> Fe<sub>16</sub>O<sub>27</sub>

92096 Properties of tungsten-type hexagonal barium ferrites. Varazashvili, V. S. (Inst. Neorg. Khim. Elektrokhim., Tbilisi, USSR). *Soobshch. Akad. Nauk Gruz. SSR* 1971, 64(2), 333-6 (Russ). The BaM<sub>2</sub>Fe<sub>16</sub>O<sub>27</sub> ferrites with M = Ni, Cu, or Co prepd. by the oxide sintering or codissocn. of salts showed Curie points, x-ray spectra, and DTA curves independent of the prepn. method. The *a* and *c* parameters of the cell were independent of M. Curie points detd. by the ballistic method with  $\pm 5\%$  error agreed with DTA results. Moreover, DTA curves showed a previously unknown polymorphic transition at 1020-1030° in the Cu ferrite. Ni and Co ferrites showed only ferromagnetic transitions at 25-1100°.

S. Santoli

T<sub>bc</sub>

C.A. 1972. 76.16

Ba<sub>2</sub> Ni F<sub>6</sub> (Tet) IX 4627 1974

Chenavas J., Capponi J.J.,  
Joubert J.C., Moretto M.,  
Mater Res. Bull., 1974, 9, N°,  
13-20

β

1974

$\text{BaFe}_{12}\text{O}_{19}$ ,  $\text{Ba}_{0.9}\text{K}_{0.3}\text{Fe}_{11.7}\text{Ti}_{0.3}\text{O}_{19}$ ,

$\text{Ba}_{0.9}\text{Bi}_{0.1}\text{Fe}_{11.9}\text{Zn}_{0.1}\text{O}_{19}$ ,  $\text{Ba}_{0.8}\text{Bi}_{0.2}\text{Fe}_{11.8}\text{Zn}_{0.2}\text{O}_{19}$ ,  $\text{Ba}_{0.8}\text{Bi}_{0.2}\text{Fe}_{11.8}\text{Cu}_{0.2}\text{O}_{19}$

$\text{Ba}_{0.6}\text{Bi}_{0.4}\text{Fe}_{11.6}\text{Ni}_{0.4}\text{O}_{19}$ ,  $\text{Ba}_{0.6}\text{Bi}_{0.4}\text{Fe}_{11.6}\text{Ni}_{0.4}\text{O}_{19}$ ,  $\text{Ba}_{0.75}\text{K}_{0.25}\text{Fe}_{11.75}\text{Mn}_{0.25}\text{O}_{19}$ ,

$\text{Ba}_{0.5}\text{K}_{0.5}\text{Fe}_{11.5}\text{Mn}_{0.5}\text{O}_{19}$  ( $T_{\text{c}}$ )

TK 4797

Gzill A.

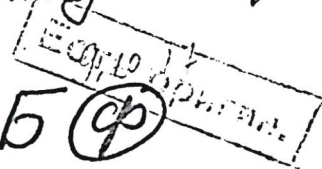
Int. J. Magn., 1974, 6, N<sup>o</sup> 2, 173-176 (GUNZ)

Magnetic properties of paramagnetically substituted  $\text{BaFe}_{12}\text{O}_{19}$ .

PIKUXA, 1975

95589

5 (cp)



$\text{NiCl}_2\text{-MCl}$  ( $\text{M}=\text{Li}, \text{Na}, \text{K}, \text{Rb}, \text{Cs}$ ) 1975

$\text{NiCl}_2\text{-MCl}_2$  ( $\text{M}=\text{Mg}, \text{Ca}, \text{Sr}, \underline{\text{Ba}}$ ) (K<sub>p</sub>)

(гавиевые пары на гравит. сепаратор)

Бураков Б.И., Миронов В.И.,  
mp. химии и хим. метод.  
1975 (1), 5-7.

Вакуумная десорбция из систем  
на основе  $\text{NiCl}_2$ .

C.A. 1976. 85 n 14. 99955

M (P)

10

$\text{BaNi}_2\text{Fe}_{16}\text{O}_{26}$  [Bsp 5369-IX] 1975

4 Б840. Калориметрическое и физико-химическое исследование гексагональных ферритов бария типа  $M_2W$ . Landia N. A., Chachanidze G. D., Vagashvili V. S., Pavlenisvili T. A., Turashvili D. I. Calorimetric and physico-chemical investigation of hexagonal barrium ferrites, type  $M_2W$ . «4ème Conf. int. thermodyn. chim., Montpellier, 1975. Vol. 2». S. l., s. a., 78—85 (англ.).

Энтальпия многокомпонентных ферритов типа  $M_2W$   $\text{BaNi}_2\text{Fe}_{16}\text{O}_{26}$  (I) и  $\text{BaCu}_2\text{Fe}_{16}\text{O}_{26}$  (II) определена методом смешения в интервале 298—1300 К с использованием адиабатич. калориметра. I и II получены из окислов керамич. методом нагреванием в атмосфере  $\text{O}_2$  в



X. 1977. NY

течение 50 час. при 1300 и 1200° соотв. Параметры гексагон. решетки  $a$  5,88, с 32,85 Å одинаковы для I и II. Т-ра Кюри определена баллистич. методом и равна 450° для I и 430° для II. На термограмме ДТА аномалии, отвечающие т-рам Кюри, наблюдались при 460 и 445°. Опытные данные по  $H_t - H_{298}$  аппроксимированы многочленными полиномами и табулированы через 100°. При 298° К  $C_p$  (I) = 217,3 кал/моль·град,  $C_p$  (II) = 231,2 кал/моль·град. Темплота магнитного перехода составляет для I 637 кал/моль, для II 1867 кал/моль.

Л. Резницкий

IX  $\text{BaCo}_{1-x}\text{Ni}_x\text{O}_3$  a.c. 2975

Takeda Y. IX-5103

y. Solid State Chem., 1985, 15, N1, 40-44 (ann.)

Маркировка обозначает систему  
 $\text{BaCo}_{1-x}\text{Ni}_x\text{O}_3$  ( $y = 0 \text{--} 1$ ).

PX, 65639 (2246).

Б. А.

BaNiO<sub>3</sub>

1976

5 Б453. Кристаллическая структура BaNiO<sub>3</sub>. Take-  
da Yasuo, Kamatagi Fumikazu, Shimada  
Masahiko, Koizumi Mitsue. The crystal structu-  
re of BaNiO<sub>3</sub>. «Acta crystallogr.», 1976, B32, № 8,  
2464—2466 (англ.)

С целью дальнейшего выяснения вопроса о причине  
стабильности соединений со структурным типом АВХ<sub>3</sub>  
(А, В — соответственно катион с большим и малым раз-  
мерами, Х — анион) проведено рентгенографич. (ди-  
фрактометр, 222 отражений,  $\lambda$  Mo, МНК в анизотроп-  
ном приближении,  $R=0,049$ ) определение крист. струк-  
туры BaNiO<sub>3</sub>:  $a$  5,629,  $c$  4,811 Å,  $\rho$  (изм.) 6,10,  $\rho$  (выч.)  
6,13,  $Z=2$ , ф. гр.  $P\bar{b}_3/mmc$ . Положение атомов Ba, Ni и  
O в кристалле согласуется с ранее определенным по  
рентгенографич. порошковым данным. Мотив структуры

кристал.  
структур.

X. 1977 № 5

характеризуется линейными цепями из атомов Ni (Ni — Ni 2,405 Å) параллельными [001]. Атом Ni октаэдрически окружён атомами O (тригонально искаженный октаэдр со средней Ni — O 1,864, O — O 2,466 и 2,795 Å). Октаэдры  $\text{NiO}_6$ , соединяясь друг с другом гранями, образуют в кристалле колонки вдоль [001]. Катионы Ba, размещенные между этими колонками, связывают группы  $\text{NiO}_3$  двух соседних колонок. Факторы, стабилизирующие структуру: а) перекрытие *d*-орбиталей двух соседних ионов  $\text{Ni}^{4+}$ ; б) присутствие «треугольника» из атомов O с O — O 2,455 Å вокруг  $\text{Ni}^{4+}$ ; в) возрастание ковалентности связи Ni — O из-за малости величины радиуса катиона ( $r_{\text{Ni}^{4+}} \sim 0,5$  Å).  $\text{BaNiO}_3$  не является чисто ионным кристаллом.

И. Д. Датт

$\text{NiFe}_2\text{O}_4 - \text{BaTiO}_3$

1977

Kramer W.

фазов.

J. Mater. Sci 1977, 12(2)  
909-14 (eng)

диспр.

(см  $\text{LiFe}_5\text{O}_8 - \text{LiNbO}_3$ , I)



BaNiO<sub>3</sub>

1978

Резникович С.Н.

154

Уф. АН СССР. Геоград. обн -  
меридиан, 1978, 14, № 11, 2127-28



all. CaTiO<sub>3</sub> - I

BaNiO<sub>3</sub>  
(Кремн)

C<sub>p</sub>, ΔH<sub>Tz</sub>,  
S, ΔfH;

Резниковский И. А.

1979

Пермодиодикальные свойства и стабильность  
оксидных материалов  
длительной механики.

Автореферат диссертации  
на соискание ученой  
степени доктора физ.-мат. наук  
И. А. Резникова

Москва, 1979, СССР.

*BaNi<sub>2</sub>Si<sub>2</sub>*

1980

16 Б424. Структура фазы BaNi<sub>2</sub>Si<sub>2</sub> и ее родство со структурным типом ThCr<sub>2</sub>Si<sub>2</sub>. Dörrscheidt Wolfgang, Schäfer Herbert. Die Struktur der Phase BaNi<sub>2</sub>Si<sub>2</sub> und ihre Verwandtschaft zum ThCr<sub>2</sub>Si<sub>2</sub>-Strukturtyp. «Z. Naturforsch.», 1980, B35, № 3, 297—299 (нем.; рез. англ.)

Синтезированы (взаимодействием элементов в атмосфере Ar при т-ре 1700 К) и рентгенографически изучены (методы Вейсенберга, прецессии и монокристального дифрактометра, МНК, анизотропное приближение,  $R=0,034$  для 302 отражений) кристаллы BaNi<sub>2</sub>Si<sub>2</sub> (I) (состав подтвержден данными микрозонда). Параметры ромбич. решетки:  $a$  6,50,  $b$  5,35,  $c$  11,33 Å,  $\rho$ (выч.) 5,24,  $Z=4$ , ф. гр. *Стст*; т. пл. 1058 К. Атомы Ni в структуре I располагаются по вершинам равнобедренных трапеций (Ni—Ni 2,649, 2,744 Å), соединяющихся ребрами в плоские сетки, параллельные плоскости (001).

(Tm)

20 1980 № 16

Сверху и снизу этих сеток располагаются сетки из атомов Si, занимающих вершины четырехгранных пирамид с трапециями  $Ni_4$  в основании ( $Si-Ni$  2,266, 2,306,  $Si-Si$  2,538 Å). Т. о., в структуре реализуются слои из соединенных базальными ребрами пирамид  $SiN_4$  с вершинами Si, ориентированными в двух противоположных направлениях относительно базальной плоскости оснований пирамид. В направлении оси с слои соединены между собой посредством атомов Ba, в окружении которых входит по 12 атомов Si ( $Ba-Si$  3,319—3,850 Å) и по 8 атомов Ni ( $Ba-Ni$  3,310, 3,777 Å). В целом структура I представляет собой ромбически искаженный структурный тип  $ThCr_2Si_2$  (ф. гр.  $I4/mmm$ ), отличаясь от него главным образом конфигурацией сеток из атомов Ni: аналогичные сетки из атомов Cr в структуре  $ThCr_2Si_2$  имеют правильное квадратное строение.

С. В. Соболева

*Ba<sub>2</sub>Ni<sub>3</sub>F<sub>10</sub>*

1 Б631. Кристаллическая структура и магнитные  
свойства Ba<sub>2</sub>Ni<sub>3</sub>F<sub>10</sub>. Leblanc M., Ferey G., De Pa-  
ре R. Crystal structure and magnetic properties of  
Ba<sub>2</sub>Ni<sub>3</sub>F<sub>10</sub>. «J. Solid State Chem.», 1980, 33, № 3,  
317—324 (англ.)

1580

Рентгенографическим методом исследована структура  
Ba<sub>2</sub>Ni<sub>3</sub>F<sub>10</sub> (I). I имеет монокл. решетку, с ф. гр.  
 $C2/m$  и параметрами  $a = 18,542$ ,  $b = 5,958$ ,  $c = 7,821$  Å,  $\beta = 111,92^\circ$ ,  $Z = 4$ . Измерения магнитной восприимчивости  
при 4,2—300 К показывают, что I является антиферро-  
магнетиком с точкой Нееля  $T_N = 50$  К, выше к-рой  
соблюдается закон Кюри—Вейса с  $\theta_p = -70$  К и  
мол. константой Кюри, равной 3,03. Относительно низ-  
кое значение  $\theta_p$  объясняется компенсацией ферромаг-  
нитного 90°-ного обмена Ni—Ni в блоках, построенных  
по типу рутила, и антиферромагнитного взаимодействия  
в октаэдрах с общими вершинами.

С. Ш. Шильштейн

x. 1981/1

*BaNi<sub>2</sub>(PO<sub>3</sub>)<sub>4</sub>*

1980

92: 117274h Phase equilibriums in a system from barium and nickel metaphosphates. Matrosova, V. A.; Mardirosova, I. V.; Savenkova, M. A.; Nikolaeva, V. K. (Rostov. Inzh.-Stroit. Inst., Rostov, USSR). *Ukr. Khim. Zh. (Russ. Ed.)* 1980, 46(1), 46-8 (Russ). Thermog., x-ray phase anal., and IR spectroscopic studies showed formation of BaNi(PO<sub>3</sub>)<sub>4</sub> incongruently m. 845° with a eutectic of 828° and 27 mol % Ni(PO<sub>3</sub>)<sub>2</sub>. The new compd. contains polymeric chains [(PO<sub>3</sub>)<sub>4</sub>]<sub>n</sub>.

(Tm)

C.A. 1980. 92 n 14

$\text{BaNi}_2(\text{PO}_4)_2$

1980

$\text{BaNi}_2(\text{AsO}_4)_2$

93: 18071d Magnetic properties of the layered nickel compounds barium nickel phosphate ( $\text{BaNi}_2(\text{PO}_4)_2$ ) and barium nickel arsenate ( $\text{BaNi}_2(\text{AsO}_4)_2$ ). Regnault, L. P.; Henry, J. Y.; Rossat-Mignod, J.; De Combarieu, A. (CEN, 38041 Grenoble, Fr.). *J. Magn. Magn. Mater.* 1980, 15-18(2), 1021-2 (Eng). Neutron diffraction and sp. heat measurements on the layered compds.  $\text{BaNi}_2(\text{PO}_4)_2$  and  $\text{BaNi}_2(\text{AsO}_4)_2$  are reported. They order antiferromagnetically below 24.05 and 18.65 K, resp., with collinear structures defined by the wave vector  $k = 0$  and  $k = [1/2 \ 0 \ 1/2]$ . The crit. behavior and low-temp. properties were studied.

(Ttr)

CA 1980 93 n2

BaNi<sub>2</sub>(PO<sub>4</sub>)<sub>2</sub>

1980

18-Б623. Магнитные свойства слоистых соединений никеля BaNi<sub>2</sub>(PO<sub>4</sub>)<sub>2</sub> и BaNi<sub>2</sub>(AsO<sub>4</sub>)<sub>2</sub>. Regnault L. P., Henry J. Y., Rossat-Mignod J., De Combarieu A. Magnetic properties of the layered nickel compounds BaNi<sub>2</sub>(PO<sub>4</sub>)<sub>2</sub> and BaNi<sub>2</sub>(AsO<sub>4</sub>)<sub>2</sub>. «Proceedings of the International Conference on Magnetism, Munich, 3—7 Sept., 1979. Part 2». «J. Magn. and Magn. Mater.», 1980, 15—18, Part 2, 1021—1022 (англ.)

(C<sub>P</sub>)

В широком интервале т-р измерена уд. теплоемкость (C) поликрист. образцов слоистых соединений Ni (2+) BaNi<sub>2</sub>(PO<sub>4</sub>)<sub>2</sub> (I) и BaNi<sub>2</sub>(AsO<sub>4</sub>)<sub>2</sub> (II), имеющих ромбодрич. структуру с ф. гр. R 3 параметрами решетки *a* 4,82, *c* 23,38 и *a* 4,95, *c* 23,60 Å соотв. Решеточный вклад в C находился на основе данных по теплоемкости немагнитных Mg-аналогов. Кроме того, для I и II

X 1980 n 18

методом упругого рассеяния нейтронов определена магнитная структура. Установлено, что I и II при т-рах 24,0 и 19,0 К переходят в антиферромагнитное состояние с коллинеарной магнитной структурой. Значения крит. индексов для I и II составляют  $\beta = 0,230 \pm 0,01$  и  $\beta = 0,135 \pm 0,01$  соотв., что существенно меньше величины  $\beta = 0,333$ , рассчитанный в рамках трехмерной XY-модели. Данные по квазиупругому рассеянию нейтронов указывают на наличие двухмерных корреляций при т-рах вплоть до  $2T_N$  с крит. индексами корреляц. длины вблизи  $T_N$   $1,5 \pm 0,1$  и  $1,0 \pm 0,01$  соотв. для I и II. Зависимость  $C \sim T^2$ , наблюдающаяся при низких т-рах объяснена спин-волновыми возбуждениями, распространяющимися в магнитных плоскостях. Отмечено, что крит. св-ва I и II позволяют считать их системами с промежут. размерностью ( $d \sim 2,1$ ). Ю. В. Ракитин

$\text{BaNiF}_5$

1982

Fleischer Th., Hoppe R.

Krakow. Z. anorg. und allg.  
Chem., 1982, 490, Nf.,  
111-120.

(cfr.  $\text{SrNiF}_5$ ; ?)

*BaNiF<sub>6</sub>*

1982

4 Б468. К диморфизму BaNiF<sub>6</sub>. Zur Dimorphie von BaNiF<sub>6</sub>. Fleischer Th., Horre R. «Z. anorg. und allg. Chem.», 1982, 489, № 6, 7—10 (нем.)

Тригональная модификация BaNiF<sub>6</sub> (I) получена из монокл. (II) при нагревании образца до 300° и давл. 50 кбар: I  $a$  7,268,  $c$  6,981 Å,  $c/a$  0,9605,  $\rho$ (изм.) 4,80,  $Z$  3 (тип BaGeF<sub>6</sub>);  $d$ (Ni—F) 1,78—1,79 Å. Параметры монокл. формы II:  $a$  9,465,  $b$  4,950,  $c$  9,615 Å,  $\beta$  103,4°,  $Z$  4. Остаточный магнетизм порошковых образцов I обусловлен парамагнитной примесью Ni<sup>2+</sup> (~5%).

Т. Л. Хоцянова

*Кристал-  
структур*

X. 1983, 19, N4.

Ba[NiF<sub>6</sub>]

1983

структура

19 Б449. Монокристаллы Ba[NiF<sub>6</sub>]. Einkristalle von Ba[NiF<sub>6</sub>]. Müller B. G., Hoppe R. «Z. anorg. und allg. Chem.», 1983, 498, № 3, 128—130 (нем.; рез. англ.)

В дополнение к известной монокл. модификации Ba[NiF<sub>6</sub>] синтезирована (обработкой BaF<sub>2</sub> в никелевом тигле под давл. F<sub>2</sub> выше 3500 атмосфер при т-ре 450—500° С новая модификация Ba[NiF<sub>6</sub>] (I), изоструктурная BaGeF<sub>6</sub>. Параметры гексагон. решетки:  $a$  7,268,  $c$  6,981. Проведено рентгенографич. уточнение ( $\lambda$  Mo, анизотропный МНК,  $R$  3,7% для 132 отражений) структуры I. Межатомные расстояния в октаэдрах вокруг атомов Ni—F 1,804 Å, в 12-вершинниках вокруг атомов Ba Ba—F 2,789 2,865 Å. Отмечается метастабильный характер I, легко разлагающейся при нагревании. С. В. Соболева

X.1983, 19, N19

*Ba<sub>2</sub>NiF<sub>6</sub>*

*1983*

5 Б2282. Магнитные структуры двумерных антиферромагнетиков  $\text{Ba}_2\text{NiF}_6$  и  $\text{Ba}_2\text{FeF}_6$ . Magnetic structure of 2D antiferromagnets  $\text{Ba}_2\text{NiF}_6$  and  $\text{Ba}_2\text{FeF}_6$ . Renaudin J., Rappetier J., Pelaud S., Cereze A., Varret F., Ferey G. «Solid State Chem.», 1982. Proc. 2 Eur. Conf., Veldhoven, 7—9 June, 1982». Amsterdam e. a., 1983, 621—622 (англ.)

В широком интервале т-р исследованы магнитные св-ва и спектры магнитного рассеяния нейтронов для квазидвумерных антиферромагнетиков  $\text{Ba}_2\text{NiF}_6$  (I) и  $\text{Ba}_2\text{FeF}_6$  (II). I, II имеют структуру типа  $\text{K}_2\text{NiF}_4$ , в к-ре имеются дополнительные атомы F между слоями, что приводит к увеличению межслоевых расстояний с  $\sim 6,5$  Å до  $\sim 8$  Å и усилению квазидвумерного характера магнитных св-в. Установлено, что кривые т-рной зависимости  $\chi(T)$  для I и II имеют вид, характерный для двумерных антиферромагнетиков. При т-рах  $T_N = 93$  и  $48$  К I и II магнитно упорядочиваются, причем магнитные моменты ориентированы приблизительно па-

*T<sub>tr</sub>*

*(4)*

*X. 1984, 19, N 5*

раллельно оси с. Небольшая неколлинеарность моментов ( $\sim 4^\circ$ ) приводит к появлению слабого ферромагнетизма ( $\mu \sim 10^{-2}$  мв/моль). Оба соединения имеют ромбич. магнитную ячейку, причем  $\mu(\text{Ni}^{2+}) = 1,9 \pm 0,1$  мв,  $\mu(\text{Fe}^{2+}) = 3,46 \pm 0,11$  мв. Мессбауэровские спектры II при 4 К отвечают сверхтонкому полю 215 кЭ, квадрупольному расщеплению 2,43 мм/сек и изомерному сдвигу 1,29 мм/сек. Отмечено, что ориентации магнитных моментов в II и родственном  $\text{K}_2\text{FeF}_4$  сильно отличаются друг от друга.

Ю. В. Ракитин

спектр

NiCl<sub>2</sub>-BaCl<sub>2</sub>

1984

Бурслев Б. Т.

Узб. Себ. Кавказ. науц.  
челндре борчес. сук.

Р. меридион.  
сф-ва

Есмекеев. Н., 1984, N 4,  
61-63.

(см. NiCl<sub>2</sub>-SrCl<sub>2</sub>; I)

Ni-BaSi

1985

Pletnera E.D., Esin Y.O.  
et al.

Izv. Vyssh. Uchebn. Zaved.  
(mix H) Chern. Metall. 1985, (8),  
10-12.

(cui. Ca-Si; I)

*Ba<sub>2</sub>Ni<sub>7</sub>F<sub>18</sub>*

1988

15 Б2033. Кристаллическая и магнитная структура Ba<sub>2</sub>Ni<sub>7</sub>F<sub>18</sub>. Crystal and magnetic structures of the ferrimagnet Ba<sub>2</sub>Ni<sub>7</sub>F<sub>18</sub>. Renaudin J., Ferey G., Kozak A. de Samouel M., Lacorre P. «Solid State Commun.», 1988, 65, № 3, 185—188 (англ.)

Проведен РСТА ( $\lambda$  Mo, 3963 отражений,  $R$  0,033) кристаллов Ba<sub>2</sub>Ni<sub>7</sub>F<sub>18</sub> (I), полученных длят. отжигом стехиометрич. смеси BaF<sub>2</sub> и NiF<sub>2</sub> в запаянной Ni-трубке при 850—1000° С. Параметры трикл. решетки I при комн. т-ре:  $a$  6,937,  $b$  7,229,  $c$  7,456 Å;  $\alpha$  94,37,  $\beta$  93,16,  $\gamma$  115,86°,  $Z$  1, ф. гр. P1. Структура построена из 2 группировок, представляющих собой соединенные по ребрам октэдры: линейки Ni<sub>3</sub>F<sub>8</sub><sup>2-</sup> (A) и плоские ромбы Ni<sub>4</sub>F<sub>10</sub><sup>2-</sup> (B). Эти группировки связываются друг с другом по вершинам. Магн. структура I определена нейтронографически на порошке ( $\lambda$  2,52 Å, т-ра 2 К, 50 К,  $R_{магн}$  при 2 К 0,063). При 2 К с учетом магн.

*Структура*

X. 1988, 19, N 15

отражений параметры трикл. решетки:  $a$  6,924,  $b$  7,218,  $c$  7,437 Å,  $\alpha$  94,39,  $\beta$  93,20,  $\gamma$  115,82°. При 2—50 К структурные фазовые переходы не выявлены. Внутри блоков  $A$  и  $B$  магн. упорядочение ферромагн. типа, между блоками — антиферромагн. Углы сверхобменного взаимодействия NiFNi в  $A$  36,1—99,8, в  $B$  98,4—99,1 между  $A$  и  $B$  124,0—131,3. Расположение магн. моментов в блоках  $B$  слегка отклоняется от плоскости, задаваемой 4 атомами  $Ni_3$  и  $Ni_4$ . В линейных группировках  $A$  спины антипараллельны спинам  $Ni_3$ ,  $Ni_4$  и практически перпендикулярны оси линейки  $Ni_2-Ni_1-Ni_2$ . Зависимость  $1/\lambda$  ферримагн. типа с  $T_c$  36,2,  $\theta_p$  — 69,5 К.

Б. Б. Калинин

$\text{BaNi}(\text{PO}_4)_2$

1989

112: 109002j Physical properties of barium nickel phosphate ( $\text{BaNi}_2(\text{PO}_4)_2$ ) in the high temperature region. Dojcilovic, J.; Napijalo, M. M.; Novakovic, L.; Napijalo, M. L.; Cabric, B. (Fac. Phys., 11001 Belgrade, Yugoslavia). *Mater. Chem. Phys.* 1989, 24(1-2), 123-9 (Eng). Temp. dependence was studied of the dielectric permittivity, resistivity and magnetic susceptibility of that crystal phase of  $\text{BaNi}_2(\text{PO}_4)_2$  which is stable at room temp. At 290-1100 K, the examined compd. sustains 3 phase transitions on heating, which is partly consistent with data found in literature. The optical diffuse reflectance spectrum at room temp. enabled one to establish the fact that, in this phase, the  $\text{Ni}^{2+}$  ion exists in an octahedral surrounding.

(T<sub>t2</sub>)

c.a. 1990, 112, N/2

1989

*BaNi<sub>2</sub>(PO<sub>4</sub>)<sub>2</sub>*

12 Б3137. Физические свойства BaNi<sub>2</sub>(PO<sub>4</sub>)<sub>2</sub> в высокотемпературной области. Physical properties of BaNi<sub>2</sub>(PO<sub>4</sub>)<sub>2</sub> in the high temperature region. / Dojčilović J., Napijalo M. M., Novaković L., Napijalo M. Lj., Cabrić B. // Mater. chem. and Phys.— 1989.— 24, № 1—2.— С. 123—129.— Англ.

В диапазоне т-р 290—1100 К методом спектроскопии диффузной отражат. способности, измерением диэлектрич. проницаемости (на частоте 1 МГц), электросопротивления на пост. токе и магн. восприимчивости исследовано фазовое поведение BaNi<sub>2</sub>(PO<sub>4</sub>)<sub>2</sub>. В фазе, существующей при коми. т-ре, ион Ni<sup>2+</sup> существует в октаэдрич. окружении. В цикле нагрева всеми методами фиксируются переходы при  $T_1=470$ ,  $T_2=680$  и  $T_3=930$  К, связанные с изменением крист. или электронной структуры. Для  $T < T_1$  магн. момент  $\mu_{\text{эфф}} = 3,09 \mu_B$ , для  $T_1 < T < T_2 3,45 \mu_B$ , для  $T_2 < T < T_3 3,54 \mu_B$  и для  $T > T_3 4,05 \mu_B$  (по лит. данным для свободных ионов Ni<sup>2+</sup>  $\mu_{\text{эфф}} = 4,47 \mu_B$ ). Данное исследование не позволяет что-либо сказать о механизмах наблюдавшихся переходов.

В. А. Ступников

*X. 1990, N 12*

BaNi<sub>9</sub>P<sub>5</sub>

1990

16 Б2055. Синтез и кристаллическая структура нового соединения BaNi<sub>9</sub>P<sub>5</sub>. Synthesis and crystal structure of a new alkaline earth nickel phosphide phase: BaNi<sub>9</sub>P<sub>5</sub> / Badding J. V., Stacy A. M. // J. Solid States Chem. — 1990. — 87, № 1. — С. 10—14. — Англ.

Выполнен РСТА (23°С, λ Mo, анизотропный МНК по 228 отражениям до  $R = 2,3\%$ ) фосфида BaNi<sub>9</sub>P<sub>5</sub> (I), полученного во флюсе Sn при охлаждении от 850 до 500°С со скоростью 2°/час. Кристаллы I гексагон.,  $a = 6,5359$ ,  $c = 10,854$  Å,  $Z = 2$ ,  $\rho$  (выч.) 6,80, ф. гр.  $P6_3/mmc$ . Структура I представлена как состоящая из гексагон. слоев атомов Ba, к-рые окружены крупными «фонарями» Ni<sub>18</sub>P<sub>12</sub>. Атомы Ba координированы 24 атомами (18 Ni и 6 P) на расстоянии 3,35—3,56 Å, еще 6 атомов P не входят в координац. сферу Ba, Ba—P 3,83 Å. Расстояния Ba—Ba по оси  $c$  5,4, по оси  $a$  — 6,5 Å. Строение I соотнесено со структурами др. аналогичных фосфидов. Выявлен слабый парамагнетизм I, не зависящий от т-ры, что указывает на металлич. св-ва I.

С. С. Мешалкин

Структура  
x. 1991, N 16

*Ваз Ni Sb<sub>2</sub>O<sub>9</sub>*

*1990*

19 Б3228. Фазовые переходы при высоком давлении в 6Н перовскитах  $\text{Ba}_3\text{MSb}_2\text{O}_9$  ( $\text{M}=\text{Mg}, \text{Ni}, \text{Zn}$ ). High-pressure phase transitions in the 6Н perovskites  $\text{Ba}_3\text{MSb}_2\text{O}_9$  ( $\text{M}=\text{Mg}, \text{Ni}, \text{Zn}$ ) / Battle P. D., Jones C. W., Lightfoot P., Strange R. // J. Solid State Chem. — 1990. 85, № 1. — С. 144—150. — Англ.

*Фаз. переход*

Методами РФА и ДТСРСП исследована структура и строение 6Н перовскитов  $\text{Ba}_3\text{MgSb}_2\text{O}_9$  (I),  $\text{Ba}_3\text{NiSb}_2\text{O}_9$  (II),  $\text{Ba}_3\text{ZnSb}_2\text{O}_8$  (III), подвергнутых действию ВД 3,5—5,5 ГПа при т-ре 600°С в течение 1 часа. Исходные образцы получены двухступенчатым спеканием из оксидов и  $\text{BaCO}_3$  и имели гексагон. структуру. Обнаружено, что I не испытывает фазовых превращений. II переходит в др. гексагон. модификацию с параметрами  $a = 5,795$  (3),  $c = 14,287$  (5) Å, к-рая содержит димеры  $\text{NiSbO}_9$  вместо  $\text{Sb}_2\text{O}_9$ . III превращается в кубич. модификацию  $a = 8,182$  (1) с частичным упорядочением атомов Zn и Sb в октаэдрич. узлах. Обсуждены теор. аспекты фазовых переходов в гексагон. перовскитах.

(4) 187

Г. Л. Апарников

*Х. 1990. N 19*

BaNiN

1990

24 Б2032. О кристаллической структуре BaNiN, низковалентный нитридоникколат (I). On the crystal structure of BaNiN, a low valency nitridonickelate (I) / Gudat A., Haag S., Kniep R., Rabenau A. // J. Less-Common Metals.— 1990.— 159, № 1—2.— С. L29—L31.— Англ.

Проведен РСТА ( $\lambda$  Mo, 1447 отражений,  $R$  0,062) кристаллов BaNiN, запаянных в капилляр, к-рые получены нагреванием Ba в Ni контейнере, заполненном сухим  $N_2$ , при  $1000^\circ C$  с последующим медленным охлаждением до коми. т-ры. Параметры ромбич. решетки:  $a$  963,9,  $b$  1367,4,  $c$  543,2 пм,  $Z$  12,  $\rho$  (выч.) 5,85, ф. гр.  $Pnma$ . Бесконечные зигзагообразные цепочки Ni—N (Ni—N 178—183 пм) простираются вдоль  $a$ , угол отклонения от  $a \pm 59,2^\circ$ . Атомы Ni координированы 2 N, конфигурация NNiN практически линейна. Атомы N октаэдрически координированы 4 Ba и 2 Ni (Ba—N 278—297 пм). Крист. структура м. б. рассмотрена как сверхструктурная по отношению к флюориту. Из измерений т-рой зависимости магн. восприимчивости следует поведение Кюри—Вейсса,  $T_c = -310$  К,  $\mu = 1,0 \mu_B$  ниже 40 К и магн. упорядочение ниже этой т-ры.

В. Б. Калинин

Кристал.  
Структура

ж. 1990, № 24.

1990

BaNiN

20 Б2013. О кристаллической структуре BaNiN, низковалентного нитридониколата(1+). On the crystal structure of BaNiN, a low valency nitridonicolate(I) / Gudat A., Haag S., Kniep R., Rabenau A. // J. Less-Common Metals.— 1990.— 159.— С. L29—L31.— Англ.

Выполнен РСТА ( $\lambda$  Mo, анизотропный МНК по 1447 отражениям до  $R = 0,062$ ) соединения BaNiN (I). Кристаллы I ромбич.,  $a = 963,9$ ,  $b = 1367,4$ ,  $c = 546,2$  пм;  $Z = 12$ ,  $\rho$ (выч.) 5,85 ф.гр. Рпта. Структура I построена из зигзагообразных цепочек Ni—N (валентное состояние  $Ni^{1+}$ ) вдоль направления [010], аналогичных Cu—O в CsCuO. Вдоль [100] цепочки связываются, образуя колонки. Межатомные расстояния Ni—N 178,1—182,9 пм, углы  $NNi_{(2)}N$  180 и  $NNi_{(1)}N$  177,5°. Атомы N находятся в октаэдрах —  $NBa_4N_2$ , Ba—N 278,7—297,4 пм. Структура I — сверхструктура к СТ. флюорита. Измерения магнитной восприимчивости I в зависимости от т-ры выявило подчинение закону Кюри—Вейса до т-ры 40 К и магнитное упорядочение ниже этой температуры.

С. С. Мешалкин

ж. 1990, № 20

Ba-NiO<sub>3</sub>

1996

Chaignet J., Erasestov R.A.  
et al.,

XRD  
1996

J. Phys. Chem. Solids,  
1996, 57 (12), 1839-50

(all. Zn-NiO<sub>3</sub>; I)

*CdNi<sub>x</sub>*

*2001*

*CdNi<sub>x</sub>*

F: Cd[0,5]Ni[0,5], Cd[0,83]Ni[0,17] ( $\Delta H_f$ )

P: 1

03.02-19Б3.21. Увеличение энталпии и энталпия  
образования интерметаллических соединений  
 $Cd[0,83]Ni[0,17]$  и  $Cd[0,5]Ni[0,5]$ . Enthalpy  
increments and enthalpies of formation of

$Cd[0,83]Ni[0,17]$  and  $Cd[0,5]Ni[0,5]$  intermetal compounds  
/ Agarwal R., Prasad R., Venugopal V. // J. Alloys and  
Compound 2001. - 320, N 1. - С. 103-107. - Англ.

Ожидается, что кадмий можно использовать как  
растворитель для пирохимической обработки сгоревшего  
металлического ядерного топлива. Поэтому интересны  
термодинамические свойства кадмия с различными видами  
топлива и плакирова элементами. В данной работе  
представлены увеличение энталпии и энталпии

образования двух интерметаллических соединений системы Cd-Ni: Cd[0,83]Ni[ и Cd[0,5]Ni[0,5]. Данные о приросте энталпии были получены в интервале температуры 375,15-713,55 К и 375,55-810,25 К соответственно с помощью высокотемпературного калориметра Calvet и метода капли. Энталпии образов двух соединений при 298,15 К, полученные калориметрией раствора олова, равны -8,14 кДж/моль и -18,64 кДж/моль соответственно. Библ. 18.